



CONVENCIÓN INTERNACIONAL DE SUELOS 2023

Nuevas Estrategias de Fertilización y Biorremediación

Implementación de computación en la nube para el mapeo digital de propiedades de suelos agrícolas a partir de imágenes multiespectrales UAV de alta resolución

S. Pizarro^{1,2}, N. Picrope³, D. Figueroa¹, C. Carbajal⁴, M. Quispe⁵, J. Vera⁵, L. Alejandro⁵, L. Achallma⁵, I. Gonzalez⁵, W. Salazar⁶, H. Loayza^{7,8}, J. Cruz⁴, C. Arbizu^{6,9}

¹ Dirección de Desarrollo Tecnológico Agrario, Instituto Nacional de Innovación Agraria (INIA), Huancayo, Junín, Perú

² Facultad de Zootecnia, Andean Ecosystem Research Group, Universidad Nacional del Centro del Perú, Huancayo, Junín, Perú

³ Department of Earth and Ocean Sciences, University of North Carolina Wilmington, S College Rd, Wilmington, NC, USA

⁴ Dirección de Supervisión y Monitoreo en las Estaciones Experimentales Agrarias, Instituto Nacional de Innovación Agraria (INIA), Av. La Molina, Lima, Perú

⁵ Dirección de Supervisión y Monitoreo en las Estaciones Experimentales Agrarias, Instituto Nacional de Innovación Agraria (INIA), Santa Ana, Huancayo, Junín, Perú

⁶ Dirección de Desarrollo Tecnológico Agrario, Instituto Nacional de Innovación Agraria (INIA), Av. La Molina, Lima, Perú

⁷ International Potato Center (CIP), Headquarters P.O. Box, Lima, Peru

⁸ Programa Académico de Ingeniería Ambiental, Facultad de Ingeniería, Universidad de Huánuco, Huánuco, Perú

⁹ Facultad de Ingeniería y Ciencias Agrarias, Universidad Nacional Toribio Rodríguez de Mendoza de Amazonas (UNTRM), Chachapoyas, Amazonas, Perú.

m.s.n.m., con una fisiografía dominada por el paisaje llano del valle montañoso. Los campos agrícolas de donde se registraron los datos cubren 49.83 ha de 67.08 ha distribuidas en 42 parcelas.

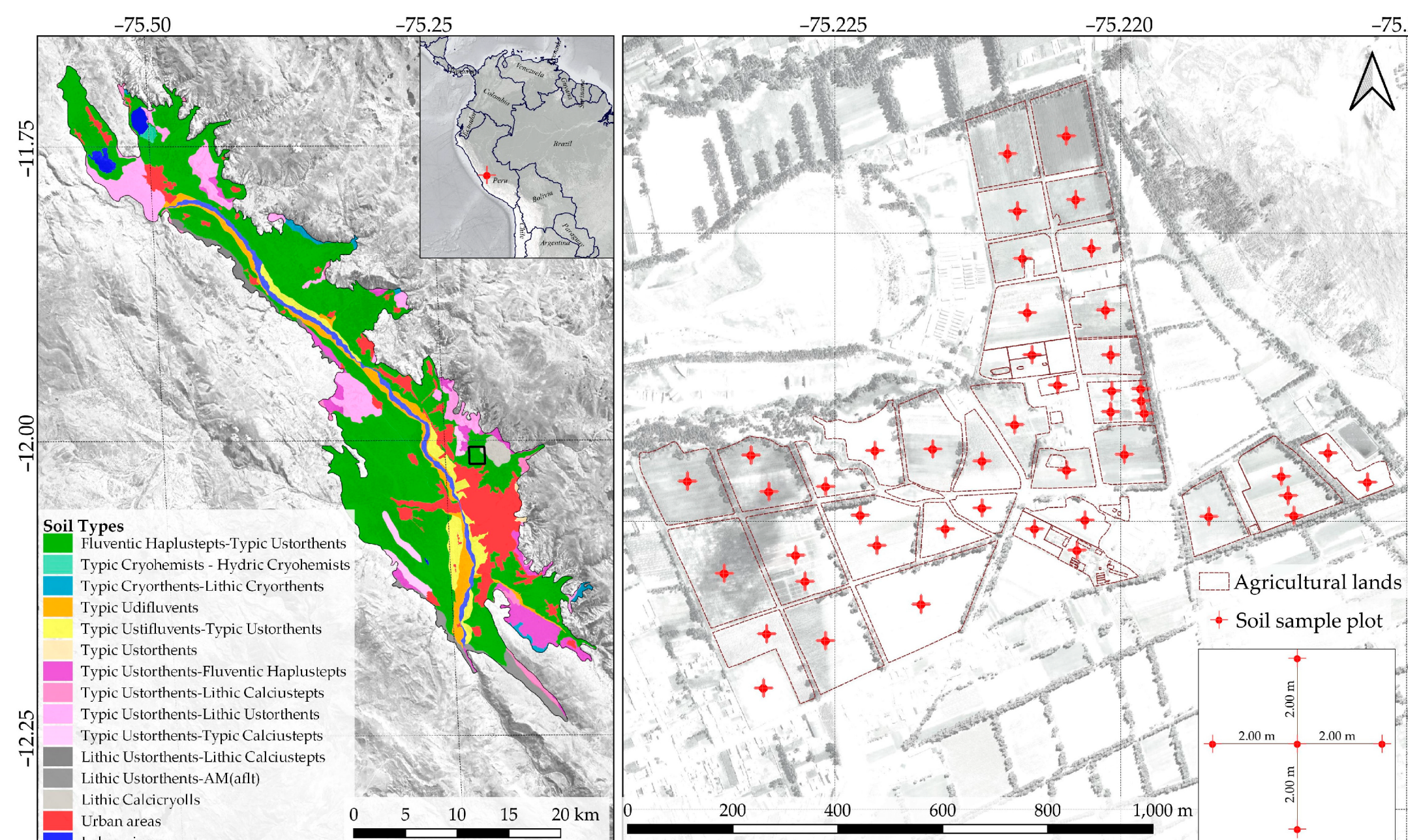


Figura 1. Ubicación del área de estudio, Santa Ana, Junín (Perú)

El marco metodológico empleado en este estudio se presenta en la Figura 2 y se describe con más detalle en las siguientes cinco subsecciones de métodos:

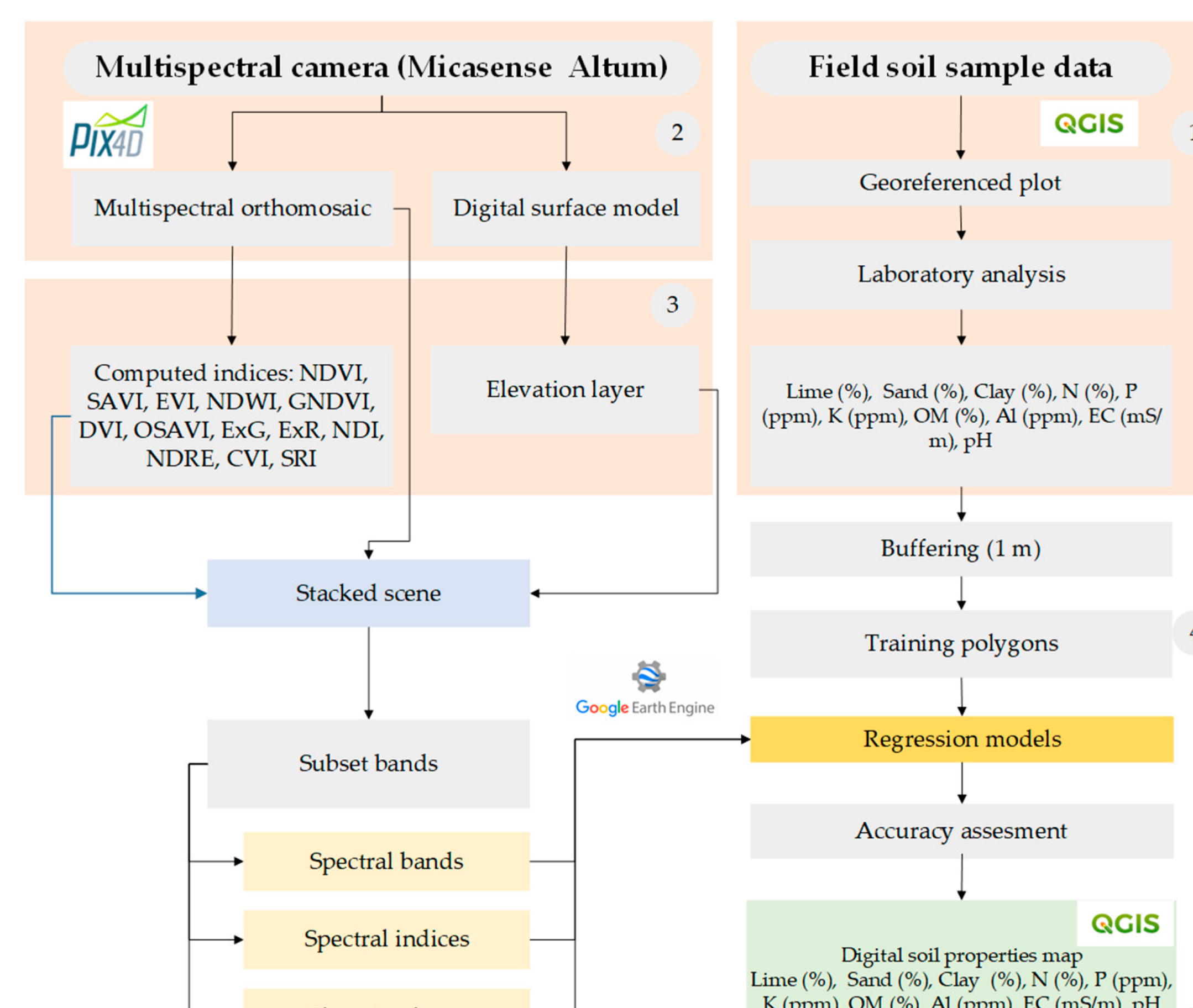


Figura 2. Representación del marco metodológico utilizado en este estudio

Resultados

Se seleccionaron los mejores modelos de regresión para luego crear mapas de la distribución cuantitativa espacial de cada propiedad del suelo mostrando la importancia relativa de los predictores (Figuras 3 y 4).

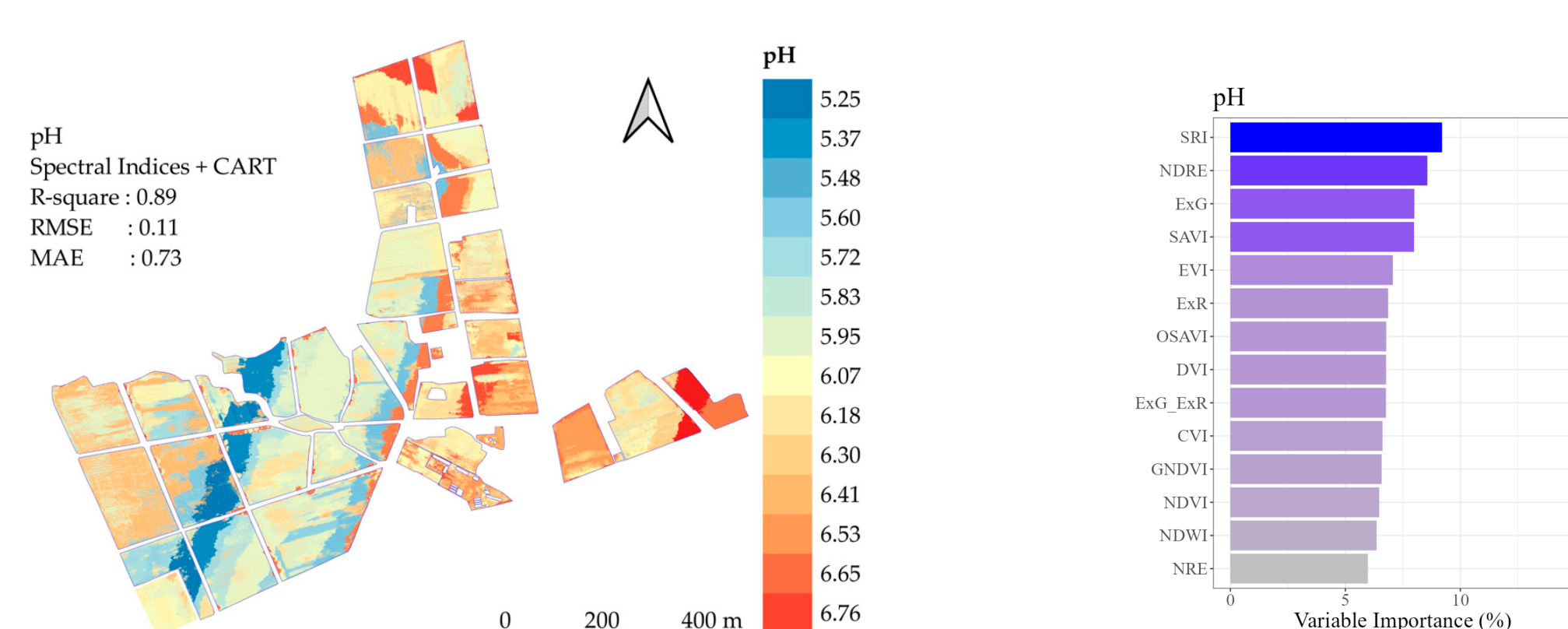


Figura 3. Mapa de predicción para pH (izquierda) e importancia relativa de los predictores (derecha).

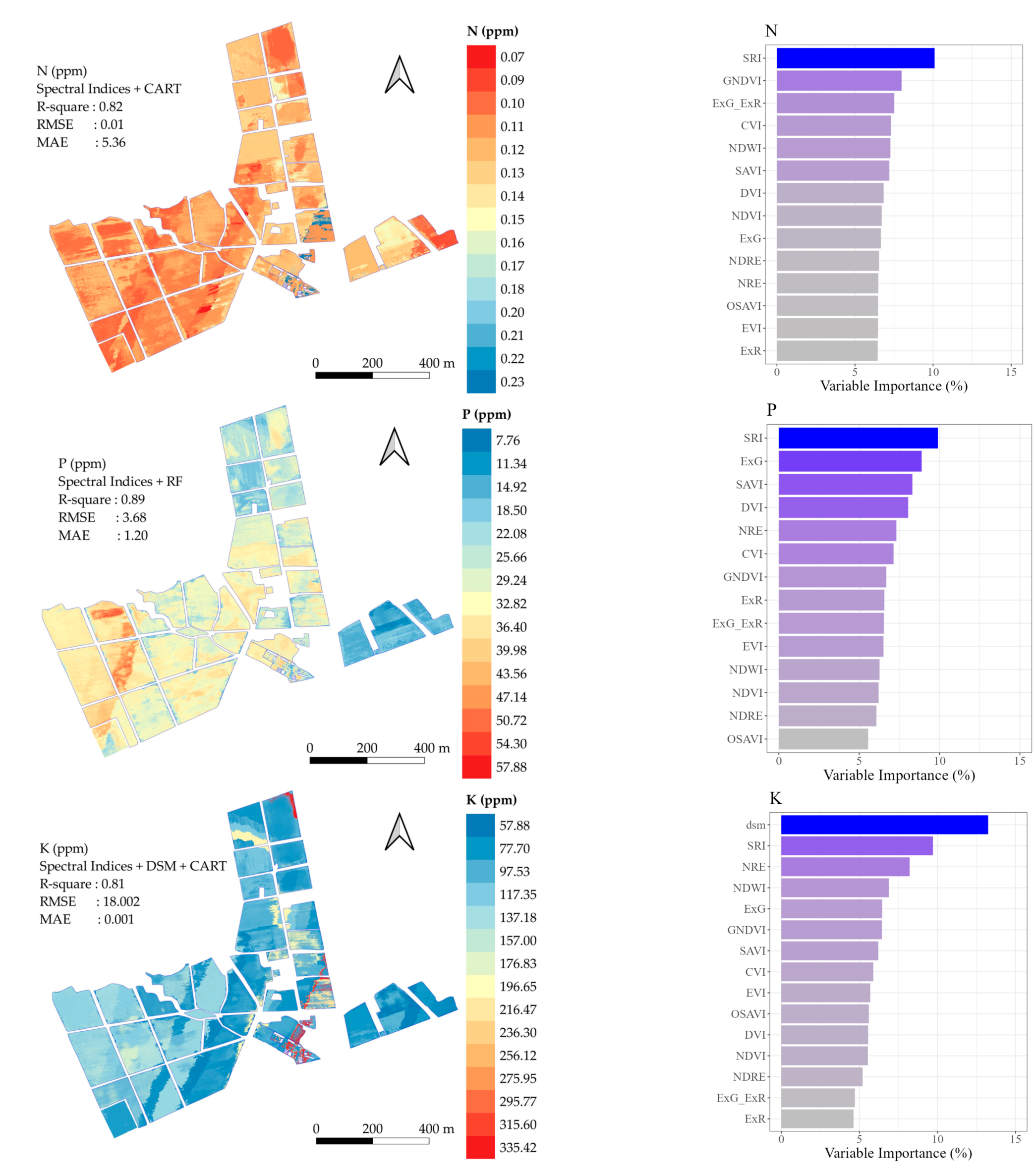


Figura 4. Mapas de predicción para N, P y K (izquierda) e importancia relativa de los predictores (derecha).

Conclusiones

El uso de los sensores multiespectrales a bordo de vehículos aéreos no tripulados (UAV) pueden mejorar los sistemas de información de la tierra y la agricultura de precisión. Los algoritmos de aprendizaje automático (CART, RF y XGBoost) utilizando Google Earth Engine [3,4] logran que el procesamiento sea más accesible sin el uso de servidores físicos en el mapeo de propiedades físico-químicas. Como mejores predictores se tienen a estar asociados a índices espirituales (SRI, GNDVI, NDWI y ExG), siendo CART el algoritmo más eficiente y consistente espacialmente para la mayoría de las propiedades del suelo. Estos resultados sugieren que el uso de algoritmos de aprendizaje automático con datos reales es eficaz para la estimación espacial de las propiedades del suelo [5,6] usando imágenes multiespectrales basadas en UAV, lo que puede contribuir a una gestión más eficaz de los cultivos y campos agrícolas.

Agradecimientos

Los equipos LABSAF y AGPRES de Santa Ana por proporcionar infraestructura y equipos para la recolección de datos del suelo y análisis de laboratorio. Agradecemos a STC-CGIAR y al Vicerrectorado de Investigación de la UNTRM.

Referencias Bibliográficas

- Das, B.; Sarathjith, M.; Santra, P.; Sahoo, R.; Srivastava, Ray, S. Hyperspectral Remote Sensing: Opportunities, Status and Challenges for Rapid Soil Assessment in India. *Current science* 2015, 860–868.
- Srinet, R.; Nandy, S.; Padalia, H.; Ghosh, S.; Watham, T.; Patel, N.R.; Chauhan, P. Mapping Plant Functional Types in Northwest Himalayan Foothills of India Using Random Forest Algorithm in Google Earth Engine. *International Journal of Remote Sensing* 2020, 41, 7296–7309, doi:10.1080/01431612020.1766147.
- Zhou, J.; Xu, Y.; Gu, X.; Chen, T.; Sun, Q.; Zhang, S.; Pan, Y. High-Precision Mapping of Soil Organic Matter Based on UAV Imagery Using Machine Learning Algorithms. *Drones* 2023, 7, 290, doi:10.3390/drones7050290.
- Padarian, J.; Minasny, B.; McBratney, A.B. Using Google's Cloud-Based Platform for Digital Soil Mapping. *Computers & Geosciences* 2015, 83, 80–88, doi:https://doi.org/10.1016/j.cageo.2015.06.023.
- Sorkou, G.; Houakpatin, O.K.L.; Weip, G.; Thiel, M. High Resolution Mapping of Soil Properties Using Remote Sensing Variables in South-Western Burkina Faso: A Comparison of Machine Learning and Multiple Linear Regression Models. *PLOS ONE* 2017, 12, e0170478.
- Shabot, M.; Mougenot, B.; Chabaane, Z.; Walter, C.; Boulet, G.; Aissa, N.; Zribi, M. Soil Clay Content Mapping Using a Time Series of Landsat TM Data in Semi-Arid Lands. *Remote Sensing* 2015, 7, 6059–6078, doi:10.3390/rs70506059.

El estudio se realizó en la Estación Experimental Agrícola de Santa Ana del Instituto Nacional de Innovación Agraria (INIA) ($75^{\circ}13'17.60''W$, $12^{\circ}0'42.36''S$), ubicado en el distrito de El Tambo, provincia de Huancayo y departamento de Junín (Perú). La Estación tiene un rango altitudinal de 3303 a 3325

Metodología

El estudio se realizó en la Estación Experimental Agrícola de Santa Ana del Instituto Nacional de Innovación Agraria (INIA) ($75^{\circ}13'17.60''W$, $12^{\circ}0'42.36''S$), ubicado en el distrito de El Tambo, provincia de Huancayo y departamento de Junín (Perú). La Estación tiene un rango altitudinal de 3303 a 3325